## Über eine neue Modifikation von $As_2O_5$ [1]

On a New Modification of As<sub>2</sub>O<sub>5</sub> [1]

Martin Jansen

Institut für Anorganische und Analytische Chemie der Justus-Liebig-Universität Gießen

Z. Naturforsch. 34b, 10-13 (1979); eingegangen am 2. Oktober 1978

Phase Transition, Crystal Structure, Lattice Constants

High temperature Guinier photographs of  $As_2O_5$  indicate a continuous phase transition to HT·As<sub>2</sub>O<sub>5</sub>, which is accomplished at  $305\pm3$  °C. The crystal structure of HT-As<sub>2</sub>O<sub>5</sub> has been derived from the low temperature form; space group and lattice constants are P4<sub>1</sub>2<sub>1</sub>2-D<sub>4</sub>4 and a=857.2 pm, c=463.6 pm (310 °C), respectively. According to symmetry considerations, the phase transition is expected to be of pure ferroelastic-paraelastic type (422 F 222).

## **Einleitung**

Kristalle von As<sub>2</sub>O<sub>5</sub>, bei 600 °C und 1,2 kbar Sauerstoffdruck dargestellt, erwiesen sich als systematisch verzwillingt [2, 3]. Diese Beobachtung ist ein Hinweis, daß unter den p/T-Bedingungen der Kristallzüchtung möglicherweise eine Hochtemperaturform von As<sub>2</sub>O<sub>5</sub>(HT-As<sub>2</sub>O<sub>5</sub>) vorliegt. Bei Abkühlung auf Zimmertemperatur würde dann eine Phasenumwandlung erfolgen, in deren Verlauf die Einkristalle von HT-As<sub>2</sub>O<sub>5</sub> in mehrdomänige Kristalle (,Transformationszwillinge') der Tieftemperaturform (TT-As<sub>2</sub>O<sub>5</sub>) übergehen. Ebenfalls denkbar - wenn auch unwahrscheinlich - wäre die Möglichkeit einer Phasenumwandlung aufgrund der Druckentlastung beim Öffnen der Autoklaven. Sofern die Umwandlung bei einer Temperatur stattfindet, die unterhalb der Zersetzungstemperatur von As<sub>2</sub>O<sub>5</sub> bei Atmosphärendruck liegt, sollte sich der Phasenübergang mit einer Hochtemperaturguinierapparatur nach Simon [4] verfolgen lassen.

## **Experimentelles**

Die Darstellung von mikrokristallinen  $As_2O_5$  ist an anderer Stelle [3] beschrieben. Die Kristallinität der Proben und damit die Qualität der Pulveraufnahmen ließ sich durch Tempern (500 °C, p( $O_2$ ) = 1000 bar, 6 d) stark verbessern. Von mehreren Präparaten wurden Heizguinieraufnahmen mit linearem Temperaturprogramm angefertigt (Temperaturbereich: 20–340 °C); die Aufheiz- und Abkühlraten betrugen  $10^\circ/h$ .

Sonderdruckanforderungen an Dr. Martin Jansen, Institut für Anorganische und Analytische Chemie der Universität Gießen, Heinrich-Buff-Ring 58, D-6300 Lahn-Gießen.

## Ergebnisse und Diskussion

Die Hochtemperaturguinieraufnahmen zeigen den erwarteten Phasenübergang an, er ist bei  $305\pm3$  °C abgeschlossen. Differentialthermoanalytisch läßt sich in dem untersuchten Temperaturbereich (20 bis 340 °C) kein Effekt nachweisen. Da die Röntgenpulveraufnahmen auch bei hoher Auflösung bezüglich der Temperatur (Heizrate und Filmvorschub  $1^{\circ}$ /h bzw.  $1^{\circ}$ /mm) im Verlauf der Umwandlung keine Unstetigkeiten in den Veränderungen der Reflexlagen erkennen lassen, handelt es sich offenbar um eine Phasenumwandlung 2. Art; sie ist ferner – wie mittels Abkühlaufnahmen nachgewiesen – reversibel.

Die Pulveraufnahmen von HT-As<sub>2</sub>O<sub>5</sub> lassen sich unter Annahme eines tetragonalen Kristallsystems vollständig indizieren. Die kristallographischen Daten sind in Tab. I denjenigen von TT-As<sub>2</sub>O<sub>5</sub>

Tab. I. Kristallographische Daten von TT- und HT- $\mathrm{As}_2\mathrm{O}_5$ .

	$\mathrm{TT} ext{-}\mathrm{As}_2\mathrm{O}_5$	$\mathrm{HT} ext{-}\mathrm{As}_2\mathrm{O}_5~(310~^\circ\mathrm{C})$
Raumgruppe	P 2 <sub>1</sub> 2 <sub>1</sub> 2 <sub>1</sub> -D <sub>2</sub> *	$P4_{1}2_{1}2-D_{4}^{4}$
a [pm]	864,6(4)	857,2(4)
b [pm]	844,9(4)	857,2(4)
c [pm]	462,4(2)	463,6(3)
MV [cm <sup>3</sup> ]	50,8	51,3
$\mathrm{D_{r\ddot{o}}}\left[\mathrm{g~cm^{-3}}\right]$	4,52	4,48

\* Im Rahmen der vorliegenden Arbeit wird die Raumgruppe  $P2_12_12_1$  wegen der besseren Vergleichbarkeit mit  $P4_12_12$  in einer anderen Aufstellung verwendet als in den 'Internationalen Tabellen' angegeben. Diese leitet sich von der Standardaufstellung durch eine Ursprungsverschiebung um 1/4, 0, 7/8 ab; die Lage der Schraubenachsen ist in Abb. 1 wiedergeben. Die Matrix zur Erzeugung äquivalenter Positionen hat die Form: x, y, z; 1/2 + x, 1/2 - y, 3/4 - z; 1/2 - x, 1/2 + y, 1/4 - z; -x, -y, 1/2 + z.

$I_0$	$I_c \cdot K$	$ ext{TT-As}_2 ext{O}_5 \  ext{sin}^2 heta_0 \ ( imes 10^3)$	$\sin^2 heta_{ m c} \ ( imes 10^3)$	$h \ k \ l$	$h \ k \ l$	$ ext{HT-As}_2 ext{O}_{ ext{sin}^2 heta_c} \ ( imes 10^3)$	$(310  ^{\circ}\text{C}) \\ \sin^{2}\theta_{0} \\ (\times 10^{3})$	$I_c \cdot K$	$I_0$
	20.0			1.1.0	1.1.0			10.2	20
20	20,0	16,1	16,3	1 1 0 -	- 110	16,1	16,2	19,3	20
$\frac{3}{3}$	$^{3,0}_{2,6}$	$31,8 \\ 33,3$	$\substack{31,7\\33,3}$	$ \begin{array}{cccc} 2 & 0 & 0 \\ 0 & 2 & 0 \end{array} $	> 200	32,3	32,3	5,5	6
2	$\left\{ \begin{matrix} 0,9\\0,6 \end{matrix} \right.$	35,8	${35,7 \atop 36,1}$	$\begin{array}{cccc} 1 & 0 & 1 \\ 0 & 1 & 1 \end{array}$	> 1 0 1	35,7	35,7	0,7	1
$0,5 \\ 0,5$	$0,4 \\ 0,4$	$\frac{40,0}{41,2}$	$\frac{40,1}{41,2}$	$\begin{array}{cccccccccccccccccccccccccccccccccccc$	> 2 1 0	40,4	40,4	0,8	1
10	9,0	44,1	44,0	111 -	- 111	43,8	43,9	9,1	10
$\frac{6}{6}$	$5,9 \\ 5,3$	59,6 $61,1$	59,5 $61,0$	$ \begin{array}{cccccccccccccccccccccccccccccccccccc$	> 2 0 1	59,9	59,9	10,6	12
3	3,0	64,9	65,0	2 2 0 -	- 2 2 0	64,6	64,6	3,0	3
8 8	$^{8,1}_{9,3}$	$67,8 \\ 69,1$	$67.8 \\ 69.0$	$\begin{pmatrix} 2 & 1 & 1 \\ 1 & 2 & 1 \end{pmatrix}$	> 2 1 1	68,0	67,9	19,1	18
_	$\substack{0,1\\0,2}$	_	$79,8 \\ 82,8$	$\begin{array}{cccccccccccccccccccccccccccccccccccc$	3 1 0	80,7	80,7	0,3	0,5
1	1,1	92,9	92,8	$2\ 2\ 1\ -$	- 2 2 1	92,2	92,2	0,9	1
$\frac{4}{3}$	$\substack{4,1\\2,8}$	$99,3 \\ 102,5$	99,2 $102,6$	$\begin{bmatrix} 3 & 0 & 1 \\ 0 & 3 & 1 \end{bmatrix}$	3 0 1	100,3	100,4	6,0	6
$\frac{2}{3}$	$\substack{2,4\\2,7}$	104,6 $106,6$	$104,7 \\ 106,6$	$\begin{array}{cccccccccccccccccccccccccccccccccccc$	> 320	105,0	105,1	4,7	5
1 -	$_{0,1}^{0,8}$	107,5	107,5 $110,6$	$\begin{bmatrix} 3 & 1 & 1 \\ 1 & 3 & 1 \end{bmatrix}$	3 1 1	108,4	108,4	0,6	1
_	0,0	-	111,0	0 0 2 -	- 0 0 2	_	_	_	_
_	0,1 0,1	_	119,0 119,4	$\begin{array}{cccc} 1 & 0 & 2 \\ 0 & 1 & 2 \end{array}$	) 1 0 2	118,5	118,9	0,4	0,5

Tab. II. Vergleich der Guinierdiagramme von HT- und TT-As<sub>2</sub>O<sub>5</sub>, CuKa<sub>1</sub>, a-Quarz als Standard.

gegenübergestellt; Tab. II gibt die Pulverdaten in Korrelation mit den entsprechenden Daten der Tieftemperaturform wieder.

Die kristallographischen Gegebenheiten sind in Einklang mit der Annahme einer ferroelastischparaelastischen Phasenumwandlung [5, 6]:

- a) Der Phasenübergang ist verbunden mit einem Wechsel des Kristallsystems.
- b) Die Gitterkonstanten erfahren nur geringfügige Änderungen.
- c) In der Tieftemperaturform ist zu jedem Atom an der Stelle  $x_1y_1z_1$  ein weiteres, davon unabhängiges, derselben Sorte bei  $x_2y_2z_2$  vorhanden, wobei zwischen  $x_1y_1z_1$  und  $x_2y_2z_2$  folgende Beziehung besteht:

$$x_1y_1z_1 = f(x_2y_2z_2) + \Delta = (y_2, x_2, 1-z_2) + \Delta$$
 (1).

 $f(x_2y_2z_2)$  stellt eine Transformation dar, die eine Umorientierung der Gitterbasis bewirkt,  $\Delta$  ist eine Translation (Größenordnung  $\approx 10$  pm).

In der für 'ferroische' Umwandlungen der hier vorliegenden Art üblichen Terminologie [5, 6] ist die Struktur von HT-As<sub>2</sub>O<sub>5</sub> der ,Prototyp' zur ferroelastischen Tieftemperaturphase. Beim Übergang von TT-As<sub>2</sub>O<sub>5</sub> zu HT-As<sub>2</sub>O<sub>5</sub> gehen die Verschiebungen \( \Delta \) (vgl. Gl. (1)) gegen O, d.h. es erfolgt eine Erhöhung der Symmetrie; diese besteht im wesentlichen darin, daß in HT-As<sub>2</sub>O<sub>5</sub> parallel [001] anstelle der zweizähligen Schraubenachse eine vierzählige (4<sub>1</sub>) vorliegt. Die für die Hochtemperaturform zutreffende Raumgruppe wäre demnach P4<sub>1</sub>2<sub>1</sub>2, eine minimale, translationengleiche Obergruppe [7, 8] zu  $P2_12_12_1$  vom Index 2. Die Ortskoordinaten von HT-As<sub>2</sub>O<sub>5</sub> lassen sich ebenfalls mit Hilfe der Beziehung (1) (unter der Voraussetzung  $\Delta = 0$ ) ableiten; sie sind in Tab. III zusammen mit den Ortsparametern und den Translationen \( \Delta \) der Tieftemperaturform aufgeführt. Die beobachteten Pulverintensitäten der Hochtemperaturform stimmen gut mit den auf der Basis der angegebenen Ortskoordinaten berechneten überein (vgl. Tab. II). Die Kristallstrukturen von TT- und HT-As<sub>2</sub>O<sub>5</sub> sind in der Projektion entlang [001] in Abb. 1 wiedergegeben. Die Abstände zwischen benachbarten Atomen in den beiden Formen differieren maximal um

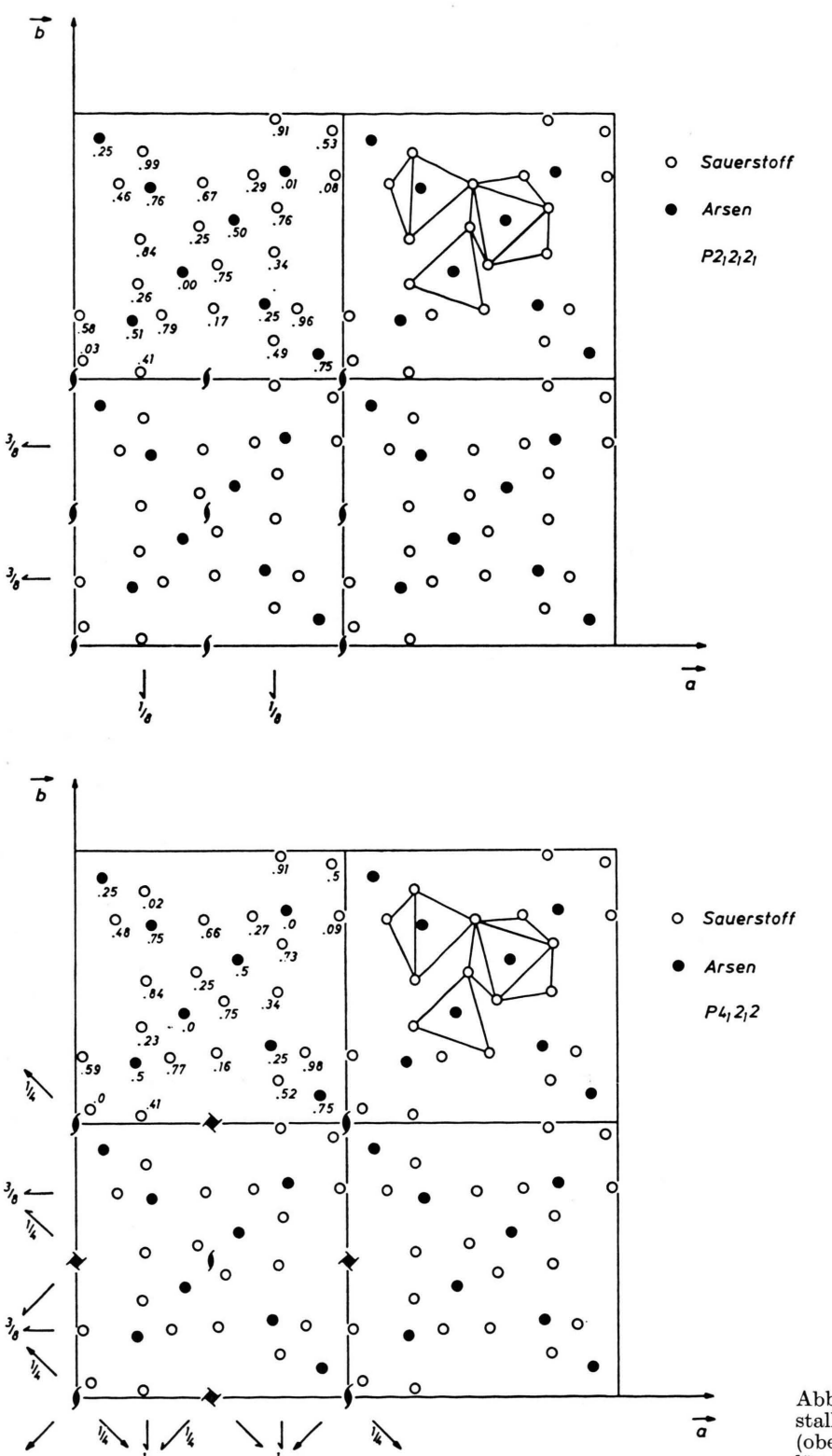


Abb. 1. Projektionen der Kristallstrukturen von  $TT-As_2O_5$  (oben) und  $HT-As_2O_5$  (unten) längs [001].

Tab. III. Ortsparameter von TT- und HT-As<sub>2</sub>O<sub>5</sub>.

	TT-As <sub>2</sub> O <sub>5</sub> P 2 <sub>1</sub> 2 <sub>1</sub> 2 <sub>1</sub> (nicht- kanonische Aufstellung, vgl. Tab. I)	⊿ [pm] vgl. Text	HT-A P 4 <sub>1</sub> 2	
As(1)	0,4015 0,4025 0,0035	3,5	4 (a)	0,4020 0,4020 0,0
As(2)	$0,7836 \\ 0,7826 \\ 0,0090$	8,4	4(a)	$0,7831 \\ 0,7831 \\ 0,0$
O(1)	$0,0403 \\ 0,0666 \\ 0,0299$	42,1	4(a)	$0,0534 \\ 0,0534 \\ 0,0$
O(2)	$egin{array}{c} 0,2453 \\ 0,3561 \\ 0,2579 \\ \end{array}$			
O(3)	$0,3324\\0,2345\\0,7933$	32,4	8 (b)	$0,2399 \\ 0,3443 \\ 0,2323$
O(4)	$\begin{pmatrix} 0,2490 \\ 0,0243 \\ 0,4138 \end{pmatrix}$			
O(5)	$\left. egin{array}{l} 0,0257 \\ 0,2439 \\ 0,5750 \end{array} \right\}$	6,9	8 (b)	$0,2465 \\ 0,0250 \\ 0,4144$

1 pm (As-O) bzw. 5 pm (O-O). Wegen der relativ geringen strukturellen Unterschiede zwischen HTund TT-As<sub>2</sub>O<sub>5</sub> erübrigt sich eine ausführliche Beschreibung der Kristallstruktur der Hochtemperaturform; die Struktur von TT-As<sub>2</sub>O<sub>5</sub> ist an anderer Stelle [3] diskutiert.

Der Wechsel der Kristallklasse während des Phasenübergangs von 422 (Hochtemperaturphase, Prototyp) nach 222 (ferroelastische Tieftemperaturform) zeigt an, daß es sich um eine rein paraelastisch-ferroelastische Umwandlung handelt (Symbolik nach Aizu [5]: 422 F222). Bei Abkühlung auf Temperaturen unterhalb der Umwandlungstemperatur ist die Entstehung zweier verschieden orientierter Domänenarten der ferroischen Phase zu erwarten. Dies steht im Einklang mit den Ergebnissen der röntgenographischen und optischen (Polarisationsmikroskop) Untersuchungen an Transformationszwillingen bei Zimmertemperatur. Die spontane Deformation von TT-As<sub>2</sub>O<sub>5</sub> beträgt bei Zimmertemperatur  $e_s = (a - b)/(a + b) = 1.15 \cdot 10^{-2}$ , sie ist deutlich temperaturabhängig.

Die bisher vorliegenden experimentellen Daten lassen keine sicheren Aussagen über den Mechanismus der diffusionslosen Phasenumwandlung zu. Die Struktureigenschaften der beiden Phasen und der nach Hochtemperaturguinieraufnahmen kontinuierliche Verlauf der Strukturänderungen legen die Vermutung nahe, daß die Umwandlung displaziv erfolgt.

Mit Röntgenpulvermethoden wurde nachgewiesen, daß oberhalb  $305 \pm 3$  °C eine Hochtemperaturform von As<sub>2</sub>O<sub>5</sub> stabil ist. Symmetriebetrachtungen zufolge liegt ein rein ferroelastisch-paraelastischer Phasenübergang vor. Ein endgültiger Beweis der Ferroelastizität von TT-As<sub>2</sub>O<sub>5</sub> etwa durch Messung der ,elastischen' Hysteresis steht noch aus. Um weitere Einblicke insbesondere in den Mechanismus der Umwandlung zu erlangen, ist damit begonnen worden, die Orts- und Temperaturparameter von As<sub>2</sub>O<sub>5</sub> in Abhängigkeit von der Temperatur zu bestimmen. Von besonderem Interesse wäre der Nachweis einer mit der Umwandlung verknüpften langwelligen Gitterschwingung.

Der Deutschen Forschungsgemeinschaft danke ich für freundliche Förderung mit Sach- und Personalmitteln, Herrn Dr. V. Plies für die Anfertigung der Hochtemperaturguinieraufnahmen.

<sup>[1]</sup> M. Jansen, Fourth European Crystallographic Meeting, Oxford, 30. 8.-3. 9. 1977.

<sup>[2]</sup> M. Jansen, Angew. Chem. 89, 326 (1977); Angew. Chem. Int. Ed. Engl. 16, 314 (1977).

<sup>[3]</sup> M. Jansen, Z. Anorg. Allg. Chem. 441, 5 (1978). [4] A. Simon, J. Appl. Crystallogr. 3, 11 (1970).

<sup>[5]</sup> K. Aizu, Phys. Rev. B 2, 754 (1970).

J. C. Toledano, Ann. Telecomm. 29, 249 (1974). J. Neubüser u. H. Wondratschek, Kristall und Technik 1, 529 (1966).

<sup>[8]</sup> H. Bärnighausen, Acta Crystallogr. A 31, S 3 (1975).